

九州工業技術試験所 正員 ○三浦哲彦
九州大学 工学部 正員 山内豊聡

1. まえがき

最近築造されるようになった、高さが200mにもおよぶ大ダム（アスタム、ロックフィルダム）においては、その底部の材料は40kg/cm²に近い圧力を受ける。また、高層建築物を支えるクイの先端圧力は、数百kg/cm²に達することがある。トンネルや地中深部の掘削に際してもまた、前述の場合と同様に、高い拘束圧を受けた土やレキの力学的性質を調べておく必要がある。このほか、土のこのような材料の高压特性に関する研究は、岩の力学的性質との関連において、さらには工業材料の分野においても重要な課題とされている。

筆者らは先に、試作した高压三軸圧縮試験機を用いて豊浦標準砂の排水せん断試験を行ない、密に圧縮された供試体の圧密・せん断特性について報告した。¹⁾ 本報告では、その後に行なった実験のデータを加えて、供試体初期間欠比の大きさが標準砂の圧密・せん断特性にどのような影響をおよぼすかについて述べる。実験に用いた試料の最大間欠比は0.91、最小間欠比は0.58である。したがって、図表に示す供試体の相対密度は、密づめ($e_0=0.60\sim0.63$)の場合 $D_r=0.94\sim0.85$ 、ゆるづめ($e_0=0.82\sim0.85$)の場合 $D_r=0.27\sim0.18$ となる。せん断条件は、側圧一定、飽和供試体に対する圧密排水試験である。なお、試験装置は前報に比べて次の点で改善されている、a) 圧密・せん断中の供試体への潤液漏水はなくなった、b) ヒストマグラフが減じた、c) 圧密せん断中の側圧変動が小さくなった。

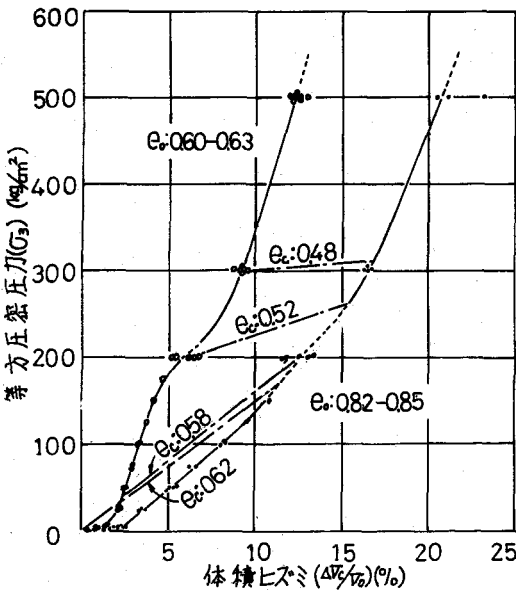


図1 等方圧密圧力と体積ヒズミの関係

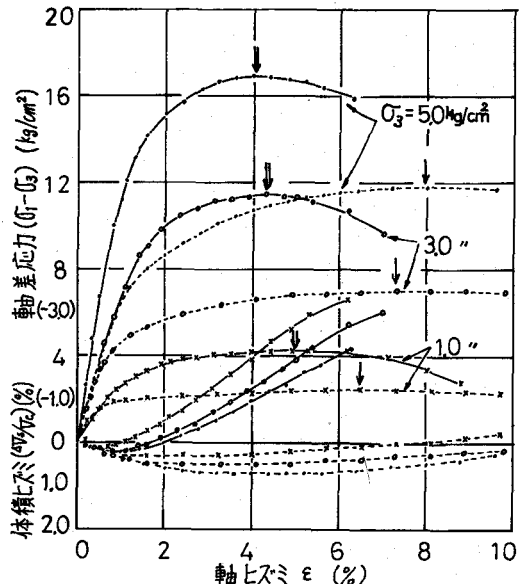


図2 応力～ヒズミ曲線 ($G_3: 1\sim 5 \text{ kg/cm}^2$)

2. 実験結果と考察

2.1 等方圧密圧力と体積ヒズミの関係(図-1):

密づめの場合にみられる 200 kg/cm^2 付近の変化は、標準砂のような均等で硬質な粒子が、初めかう自由度の低い状態におかれたときに見せる圧縮破砕特性¹⁾と考えられる。圧密後にある間ゲキ比 e_c に到達せしめるのに要する圧密圧力を、密づめとゆるづめで比較して、次のことがいえる。ゆるづめ供試体を密づめの初期間ゲキ比まで締固めるのに、実は 170 kg/cm^2 の等方圧力と 300 分の時間¹⁾ を要する。これは、圧密圧が増加しても粒子間圧力も同時に各粒子接触部が増加し、しかも粒子の移動に対するマザン抵抗も大きくなって粒子を拘束するからである。この場合、もし圧密圧力が異方性ならば、もっと容易に間ゲキは小さくなると思われる。 170 kg/cm^2 の圧力は、密づめ試料が等方圧密で急激に破砕作用を受ける圧力 200 kg/cm^2 に近いことから、このようにして密づめと同一間ゲキ比になったゆるづめ試料は、粒度次第にこの粒度でないことに注意しなければならない。

2.2 応力ヒズミの関係: 図-2 は、低圧域における応力ヒズミ曲線で、高拘束圧の場合(図-3)と対比するために示したものである。図-2(A)に見られるように、 $\sigma_3 = 25 \text{ kg/cm}^2$ の密づめ供試体は低圧域のそれと同様にセリ断中に体積は膨張する。 $\sigma_3 \leq 50 \text{ kg/cm}^2$ の範囲では、セリ断中は体積は収縮し、 300 kg/cm^2 以上の拘束圧のもとでは、あるヒズミをこえると体積変化はしなくなる($dV/de = 0$)。Vesic²⁾ のいう限界平均垂直応力は、本試料の場合約 $25 \sim 50 \text{ kg/cm}^2$ の間にあると存在する。

σ_3 が $75 \sim 125 \text{ kg/cm}^2$ の範囲で、標準砂の応力ヒズミ曲線は主わめて特徴的である。この圧力範囲においては、初期密度の大小にかかわらず、最大軸差応力はまったく同じ値を示す。

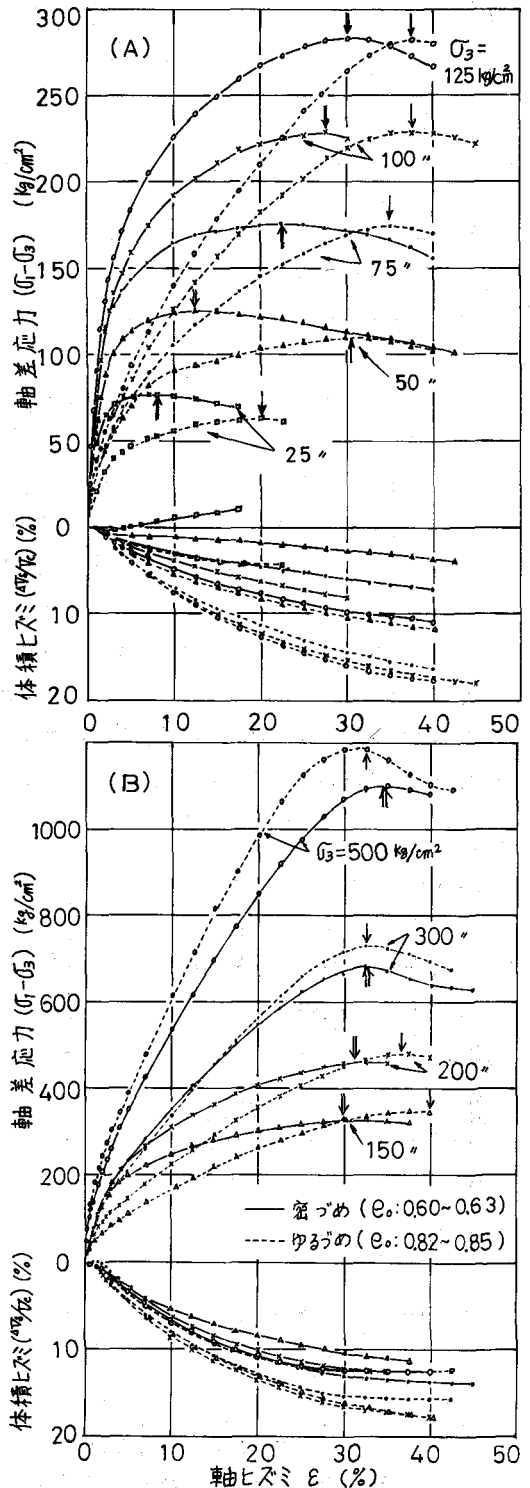


図-3 応力ヒズミ曲線 ($\sigma_3: 25 \sim 500 \text{ kg/cm}^2$)

しかも、応力-ヒズミ曲線の形は初期密度の違いによって明らかに差がある。表1は、3段階の拘束圧における初期間ゲキ比 e_0 、圧密後間ゲキ比 e_c 、および最大軸差応力時間ゲキ比 e_f を示す。セリ断直前の間ゲキ比 e_c はいずれも密づめの方がゆづめにもつかのわらず、 e_f 値は逆にゆづめ供試体が小さくはっている。一方図-4に、別の試料で求めたセリ断試験後の試料粒度を示す。軸ヒズミ40%のときの粒度は、当然最大軸差応力時より細くはっているから、これを表-1と直接結びつけることはできない。しかし、最終的にゆづめの方が細粒分を多く含むことはほぼ間違いないであろう。このことから、一応次のように考えることができる。ゆづめ供試体においては、セリ断前の間ゲキ比が相対的に大きいので、一度公セリ断荷重が加えられると(異方性圧縮)急速に間ゲキを減じる。この際、粒子の自由度は密づめに比べて高く、かつ最終間ゲキ比に達するまでに動く粒子の移動距離は長いので、粒子は破碎よりもむしろ相互にマメツシあう。その結果得られる粒度が密づめより良いので e_f は小さくなる。マメツ作用を含めたすべりマサソカがゆづめの試料のセリ断抵抗の支配的要害となっているのではなかろうか。これと反対に、密づめ供試体では粒子の自由度は低いので、各粒子は供試体とダイレットさせる方向に移動しようとする。その結果、接触数を減じた粒子は一接触当たりの応力が破碎強度をこえて破碎される。したがって、密づめ供試体のセリ断強度を構成するのは、すべりまじりの他に、ダイレットと、ダイレット間のエネルギーを吸収する形で生じる粒子破碎、が考えられるのではなかろうか。図3(A)の応力-ヒズミ曲線のうち密づめのものは、仮圧域のそれと類似の形をしているということは前述の推論と矛盾しない。セリ断過程における粒度の変化を調べることもこの間の現象を説明するより手段と思われるので、現在検討中である。

次に、図3(A)は、 σ_3 が150 kg/cm²以上の場合を示す。この圧力範囲では、ゆづめの方がいずれも高い軸差応力を示すのが特徴である。このような両者の大きな開きが何によって生じるのか未だよく分らない。現在考えられることは、ゆづめ試料では、セリ断直前の間ゲキ比 e_c は $\sigma_3=500$ kg/cm²においてもいせんとして密づめのものより大きい(0.423と0.429)ことと、先に述べたように、セリ断前の粒度分布はおおしく密づめより良いこと、はたか図3(B)の実験事実と同様があるのではなかろうかと思われる。Vesic²⁾は、初期間ゲキ比の影響が消える応力を Breakdown stress として、彼らの用いた河砂については200 kg/cm²がそれに相当する圧力 σ_3 としているが、その応力-ヒズミ曲線図でみるかぎり、標準三軸圧縮試験の $\sigma_3=211$ kg/cm²のときと、八面体セリ断試験の $\sigma_3=351$ kg/cm²のとき、

表-1 各段階の間ゲキ比

σ_3 kg/cm ²	75		100		125	
	密づめ	ゆづめ	密づめ	ゆづめ	密づめ	ゆづめ
e_0	0.597	0.845	0.609	0.832	0.598	0.846
e_c	0.550	0.725	0.556	0.686	0.538	0.672
e_f	0.472	0.457	0.436	0.399	0.388	0.377

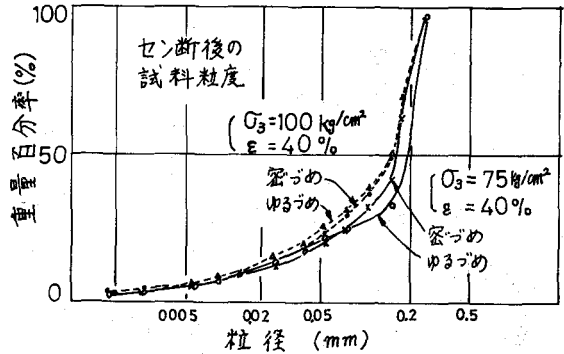


図-4 セリ断試験後の試料粒度

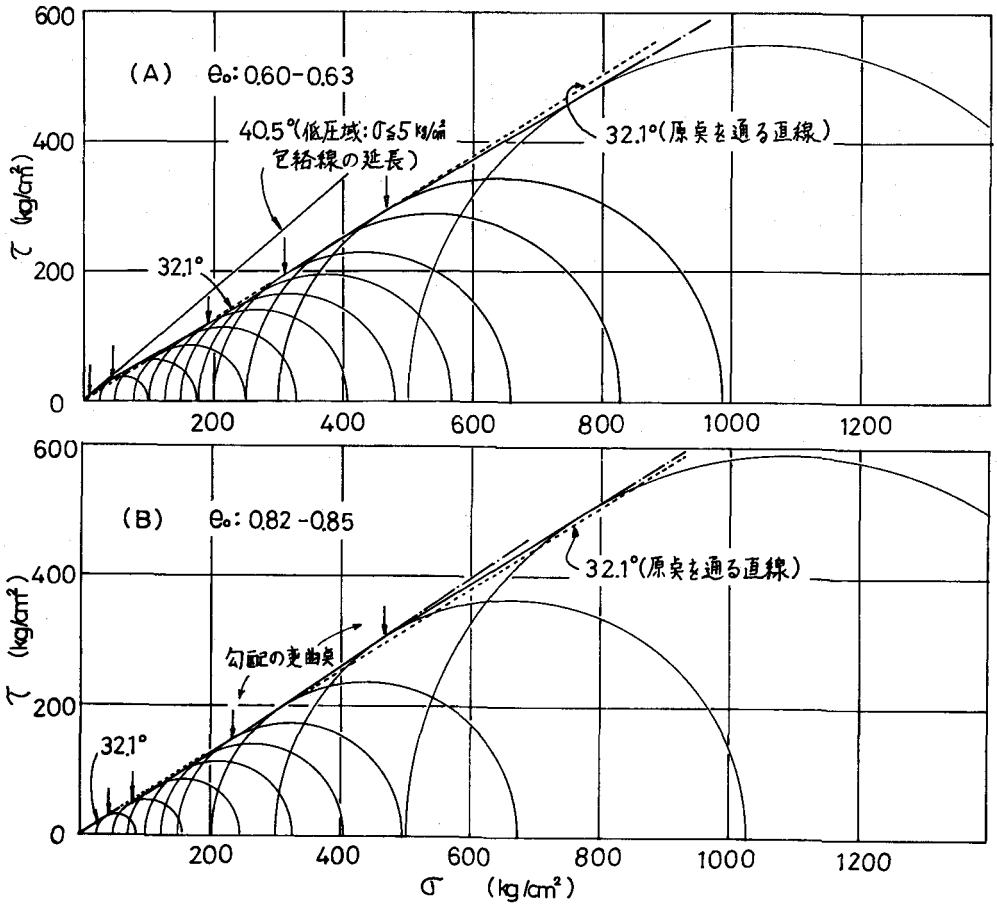


図-5 モールの応力円

それぞれ初期間ゲキ比の大きい方が高い強度を示している。

2.3 モールの応力円： 図-5(A),(B)にみられるように、4.5 頁の σ で勾配が変化している。そしてこれらについては、ゆるづめの低圧域の勾配 32.1° を中心に変化しているように見受けられる。

3. 結論

(1) 標準砂のような均等硬質の砂が等方圧力を与えるとき急激に破壊を受け異常な体積変化を起す圧力が存在する。(2) ゆるづめの供試体と等方圧に密づめるには高い圧力と長時間を要し、この間に粒子破碎による粒度変化がある。(3) 限界平均垂直応力は、標準砂では $\sigma = 25 \sim 50 \text{ kg/cm}^2$ の条件下で存在する。(4) $\sigma = 75 \sim 125 \text{ kg/cm}^2$ の同様の圧力条件下、ゆるづめと密づめ供試体の軸差応力は一致するが、応力-ヒズミ曲線は低圧における両者の関係と似ている。その原因として、セグ断過程における粒子の移動の仕方が考えられる。(5) $\sigma = 150 \text{ kg/cm}^2$ 以上でゆるづめの軸差応力が密づめのそれと上まわる。(6) 標準砂においては、 $\sigma = 500$ 以下では Breakdown stress は存在しない。(7) モールの応力円は、軸差で勾配が変化するが、つねにゆるづめ低圧域応力線の勾配を中心として変動する。

4. 文献 ① 三浦山田村等25日球状砂次学術講演会講演集Ⅲ-31, 1970. ② A.S. Veniz & W. Clough: Proc. ASCE, Vol. 94, No. SM3, 1968